

四

四

晶相

- { 玻璃相：低共熔物形成体（原料不纯造成）。
- 气相。（开口转孔应消除，问题可保留）
- ① 棒有弹性的模塑性金属大，即塑性小。（ $E = \frac{Q}{\epsilon}$ ）
- ② 金属热相对稳定，陶瓷工与工艺过程有关
- ③ 陶瓷：抗压不抗拉。
- 金属：拉无一样。
- 高分子材料：

该图展示了Al-Mg-S系统中的相图，标注了以下相的稳定区域：

- fcc
- bcc
- hcp
- ABC
- ZnS
- NaCl
- CuT₂
- Al₂O₃
- MgAl₂O₄（形成于Al₂O₃与MgAl₂O₄之间）
- MgAl₂O₄（形成于Al₂O₃与MgAl₂O₄之间）

图示：
①. ΔY
②. 质体类型相同
区别法

(3) 化學性質

(4) 物質

影响因素
影响因素
影响因素

性能下降。

- ⑤. 防止措施：①入适当的添加剂，以减缓融料的移动速度，使气孔及时沿晶界排除，从而防止或延缓二次再结晶的发生。

金属

- ①. 脱氧（whisker）：冶炼时，基本上无脱氧，提高强度：使铝晶粒，阻止位错的运动。
固溶强化：晶格畸变，引起应力场，阻止位错运动。
弥散强化（相变）。

细晶强化：晶界↑→阻止位错运动。

在提高金属强度同时，塑性也提高。

热处理（消除剩余应力）：

退火	随炉冷却
正火	空冷
淬火	油冷

金属玻璃

金属难以形成玻璃：键型，弹性。

- ①. 具有比金属更高的强度（没有位错）。（缺陷是晶体中才有的）
②. 更耐化学侵蚀性（腐蚀之后从晶界开始）。
③. 有些金属玻璃表现出极好的软磁特性 (Fe, Co)。

烧结机理

相变 ~ 过饱和度
扩散 ~ 化学梯度
可直 ~ 流动 扩散

颗粒的粘附作用 (初期)

粘附是固体表面的普遍性质，起因于固体表面附近的作用力场。当两个表面直接接触时，固体表面附近的作用力场会附着在固体表面上，故粘附作用特别显著。

二、物质的传递 (中期)

(1) 流动传质
只适于液相烧结，不一定使密度增加，但物质一定传递。
粘性流动
塑性 ~

(2) 扩散传质

固液相烧结都适用，宜定位从顶部表面对颗粒其它部分扩散，而固体质量向强部逆向扩散。

☆ 强部表面对颗粒传质

(3) 气相传质
固、液相烧结均适用
也称蒸发 - 冷凝
溶剂 - 沉淀
仅适于颗粒直径大 \rightarrow 流动传质

粘附力 较弱 (自然力不可逆过程)

- 初次再结晶：从塑性变形的具有应变的基底中，生长出新的无应变的晶核构成核加长大过程。
 - ① 常发生在金属、硅酸盐材料
 - ② 抗动力为基底、塑性变形所增加的能量。

晶粒长大：

- ① 在烧结过程中后期发生
 - ② 不是小晶粒的相互粘连(初期发生)，而是晶界移动的结果。
 - ③ 核心是晶粒平均尺寸增加
 - ④ 抗动力是晶界生长的自由能
- 晶界移动分为序二相承压、粗碎合：
 - ① 晶界能量较小，晶界移动被杂质 / 气孔阻挡，晶粒正常长大停止。
 - ② 晶界取一定能量，晶界移动杂质或气孔继续移动，这时气孔利用晶界的快速通道排除，坯体不断致密。
 - ③ 晶界能量大，晶界越过杂质 / 气孔，把气孔包裹在晶粒内部。
有助于气孔脱离晶界，再不能利用晶界这种快速通道而排除，使烧结停止，致密度不再增加。将出现二次再结晶。
- 二次再结晶：坯体中步进大晶粒尺寸均匀，其结果是一个个均匀晶粒的尺寸增加，区别于正常的晶粒长大。
- ④ 抗动力：晶界生长的界面能
 - ① 平滑颗粒有害
 - ② 原因 ① 原始颗粒不均匀
③ 气孔温度偏高
 - ④ 对材料影响：由于个别晶粒异常长大，使气孔难以排除，坯体不再致密。另外大晶粒的晶界上有应力存在，使过于应力集中状态使其内部出现裂纹，烧结时坯体易破裂，使烧结电极、机械强度降低。

烧结

三、烧结温度

四、压力

增大压力有助于颗粒间的接触面积，加速颗粒传递，使反应速度加快。但对于液-气相参与的反应，提高压力并不表现出积极作用。

五、气氛

影响催化活性的因素有：
1) 反应物活性。
2) 颗粒度越高，结构越完整和稳定的，反应活性越低。

- 烧结：压制成型后的粉体物料在低于熔点的高温作用下，通过坯体间颗粒相互粘结和熔化传差，气孔排除，体积收缩，强度提高，逐渐变成一个几何形状和坚固整个过程。

- 指标：烧结收缩率，强度，密度(ρ)，气孔率。
- 目的：把粉体材料变为固体材料。
- 固相烧结：松散的粉末或压制成具有一定形状的粉末坯体被置于其熔点附近的温度中，在一定气氛保护下，不超出其熔点的温度中，一定时间内操作进程。

六、保湿-较时间的影响

- 烧结对烧结体性质的影响：
- ① 随烧结温度的升高，电导率和抗拉强度↑；
- ② 在颗粒空隙被填充之前（即气孔率显著下降以前），颗粒接触处就已产生某种键合，使电子可以沿键合的地方传递，故电导率和抗拉强度↑；
- ③ 温度过高，物质开始向空隙传递，密度过大。当P达理论值的90~95%后，其增加速度显著减慢，且常规条件下很难达到完全致密。说明坯体中的空隙（气孔）完全排除困难。

七、烧结过程：

- 初：坯体间颗粒重排，接触处产生键合，大孔消失，但因气孔率高，传质开始，空隙进一步变小，但仍然很大，气孔率很大，强度不高。
- 中：传质继续，空隙进一步变小，但仍然很大，气孔率很大，强度不高。
- 后：传质继续进行，孔隙变大，气孔率变小，强度变高，气孔率变小，强度变高。

温度达理论值的95%以上。

而全过程中扩散速率小，扩散时间长，所需时间比颗粒计算出的时间少。

抛物线形速度方程：

平板扩散模型

平板状物质AB相互接触形成厚度为 x 的AB化合物层。随后A扩散到B-AB界面进

行反应。经 dt ，通过AB层迁移的A物质质量为 d_m ，平板间接触面积 S ，

浓度梯度 $\frac{dc}{dx}$ ，由菲克定律：

$$\frac{d_m}{dt} = D_S \frac{dc}{dx}$$

a, b 两处 A 浓度分别为 100% 和 0% ，则：

$$\frac{d_m}{dt} = D_S \frac{100 - 0}{x}$$

由于A物质迁移量 d_m 正比于 $Solu. R_s$ 。

$$\frac{d_m}{dt} = k_4 t$$

积分：

杨德方程：

球体模型

(1) 反应物是半径 R 、直径球粒。

(2) 反应物A是扩散相，即A成为总量尼乌的扩散相。

扩散至球表面中心进行。

(3) A在产物层中浓度是线性的，且扩散层截面相一定(恒定扩散)

扩散颗粒初始体积 $V_1 = \frac{4}{3}\pi R_0^3$

未反应部分的体积 $V_2 = \frac{4}{3}\pi (R_0 - R)^3$

产物体积 $V = \frac{4}{3}\pi [R_0^3 - (R_0 - R)^3]$

设B的浓度为基准的转化程度为 $G = \frac{V_2}{V_1} = \frac{1 - (1 - \frac{R}{R_0})^3}{1}$

代入 $\frac{d_m}{dt} = k_4 t$ 得

$$F_5(G) = [1 - (1 - G)^{\frac{3}{2}}] \cdot \frac{k_4}{R_0^2} t = k_5 t$$

金斯-特林格方程

反应物A是扩散相，B是平均半径为 R 的球形颗粒；反应沿整个球表面同时进行，首先A和B形成产物层，其厚度从随反应进行不断增厚；若A扩散到A-AB界面上A的阻力远小于通过AB层的扩散阻力(非稳态扩散)，则小-AB界面上A的浓度可视为不变，即等于 C_0 ，因反应由扩散控制，故A在B-AB界面浓度为 D 。

$$F_6(G) = 1 - \frac{2}{3}G - (1 - G)^{\frac{3}{2}} = k_6 t.$$

注： G 值同方程一致； G 越大，全过程一定程度上克服扩散限制。

影响固态反应的因素

(凡是对活化晶格，促进颗粒内扩散作用的因素对固态反应有影响)

- 1、反应物化学组成的影响：
- 2、扩散系数：自由能 $(\Delta G < 0)$ 减少过快，且正值越大扩散越快。
- 3、功力学：反应物种结合作用力越大，则可动性和反应能力越小。

反应物颗粒 $\left\{ \begin{array}{l} \text{活性晶格} \\ \text{产生液相} \end{array} \right\}$ 固溶体 $\left\{ \begin{array}{l} \text{颗粒作用} \\ \text{活性晶格} \end{array} \right\}$

二、反应物颗粒粒径均匀性的影响：

- 1、物料颗粒尺寸愈小，比表面积愈大，反应界面和扩散路程愈短，使反应速度愈大。
- 2、同-反应物颗粒尺寸不同，反应速度可能会属于不同动力学范例。

固态反应特征：

- ① 固态物质间的反应是直接进行的、气相或液相没有或不起直接作用。
- ② 固态反应开始的温度远低于反应物熔点或系统的低共熔温度，通常相当于一种从反应物开始呈现显著扩散作用的温度。

此温度称为泰曼温度或烧结温度。

金属： $(0.3 \sim 0.4) T_m$ ；盐类和硅酸盐： $0.57 T_m$ ， $(0.8 \sim 0.9) T_m$ 。
③ 当反应物之一存在有多孔半固体，则转变温度通常也是反应开始时量进行的温度，为烧结定律。

原因：刚形成的颗粒不够完整，能量高，易扩散。

* 固态反应一般包括相界面上的反应和颗粒两个过程。

相界面化学机理：

- (1) 反应物之间的混合接触并产生表面扩散。
- (2) 化学反应和新相形成。
- (3) 晶体成长和微观缺陷的校正。

固态反应动力学：

一般动力学关系：

整个过程的速度将由其中速度最慢的一个控制。

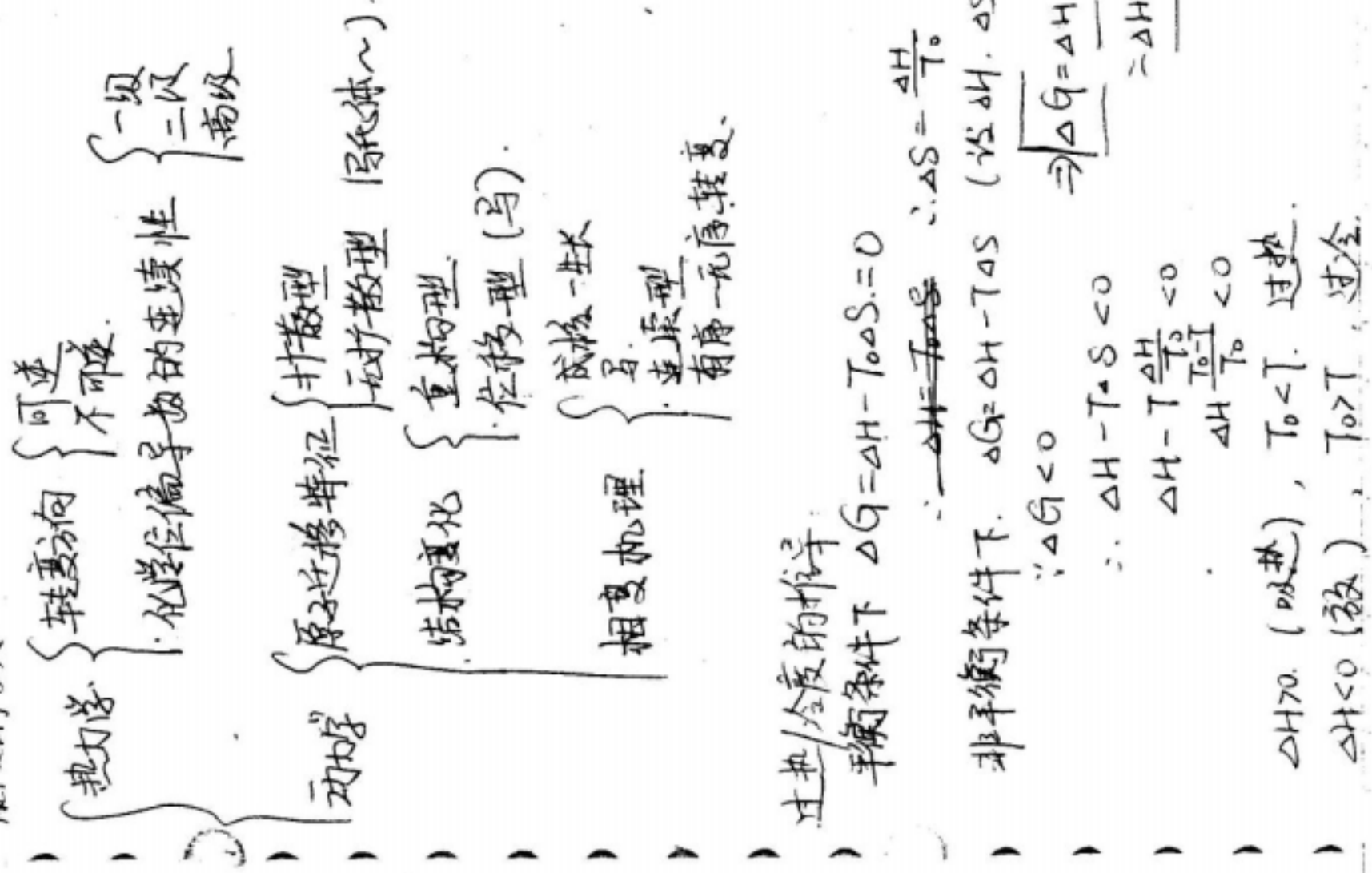
(1) 传递速度控制，称化学动力学范围。

(2) 扩散速度控制此过程，称扩散范围。

抛物线速度方程：

补充:

相变的分类



成核一生长转变

长大

情况五：当起始小，形成颗粒很小时，界面面积相对于颗粒物比例大，水流中的自由焓增加，新生相的饱和蒸气压会蒸发或溶解而消失于母相，这种较小的不稳定的区域为成核区。

颗粒：随着起始半径增大，界面相对体积的比例就减小。当起始达一定大小时，水流自由焓变化由正变负，这时随新相尺寸的增加水流自由焓降低，这种可稳定性成长的新相称为颗粒。

$\left\{ \begin{array}{l} \text{均态液体} \\ \text{非} \end{array} \right.$

均态界面，如溶解壁、气泡界面、附于外加物处。

成核生长相变

$\Delta G_r = 0$

$\Delta G_r = \frac{4}{3} \pi r^3 \Delta G_v + 4 \pi r^2 \gamma S$

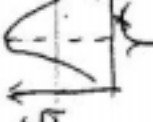
$\gamma_{\text{液体}} > \gamma_{\text{界面自由焓}} + \gamma_{\text{颗粒自由焓}}$

$$\frac{d\Delta G_r}{dr} = 0 \Rightarrow \gamma^* = -\frac{2\gamma_{\text{液体}}}{\Delta G_v}$$

代入原式

$$\Delta G_r^* = \frac{16 \pi r^3 \gamma^3}{3 \Delta G_v}$$

- ①. ΔG_r^* : 只有颗粒半径大于 r^* 的起始界面才是稳定的，因为颗粒生长时，自由焓减小。



②. ΔG_r^* 越低，成核越容易。

$$\Delta G_r^* = \frac{4\pi \gamma^3}{3r^3} = n \exp(-\Delta \frac{\Delta G_r^*}{kT})$$

ΔG_r^* : 液体和晶体自由焓之差

T_m : 熔点

ΔT : 过冷度

ΔH_v : 熔化时单位体积的焓变

在低温阶段，扩散控制了成核，故随 ΔT 而下；

在高温阶段，相变势垒控制了成核，故随 ΔT 而上。

均态液化

液化在异相界面上，如容器界面、固体物质(杂质颗粒)上。

内部气泡处进行

$$\text{临界半径 } R^* = -\frac{2\gamma_{\text{液体}}}{\Delta G_v} \quad (\text{与步法一致})$$

$$\Delta G_h^* = \frac{16 \pi r_{\text{液体}}^3}{3 \Delta G_v} \cdot \frac{(2 + \cos \theta)(1 - \cos \theta)^2}{4} = \Delta G_r^* f(\theta)$$

$\theta = 0^\circ$, 完全润湿, $f(\theta) = 0$, 不存在极化势垒

$\theta = 90^\circ$, 单位体积的体能, $f(\theta) = \frac{1}{2}$, 低一半。

$\theta = 180^\circ$, 完全润湿, $f(\theta) = 1$, 与均态液化一样

影响润湿速率因素：

$$\frac{d\Delta G_r}{dr} = 0 \Rightarrow \gamma^* = -\frac{2\gamma_{\text{液体}}}{\Delta G_v}$$

相变势垒

$$\Delta G_r^* = \frac{16 \pi r_{\text{液体}}^3}{3 \Delta G_v}$$

- ①. 相变势垒越多，含网状性离子团，越易。
- ②. 相固低共熔点、界线附近易剥落
- ③. 网络剥落
- ④. 外加剂。

- ①. ΔG_r^* : 只有颗粒半径大于 r^* 的起始界面才是稳定的，因为颗粒生长时，自由焓减小。

材料中的相变

17

相：物理、化学性质、物理性质完全相同且均匀的部分。
1) 异义相变：同温度的两固相之间结构转变，是物理过程，不涉及化学反应。
2) 反相变：相变前后组成发生变化的情况。包括多组分流的反应。
3) 可逆相变：转变温度低于两种晶型熔点。

- 不可逆相变
1) -级相变： $\Delta S \neq 0, \Delta V \neq 0$ ；体积显著变化，体积膨胀或收缩。
2) 二级相变：一级偏导相等，二阶偏导不等。
(恢复形变)。体积及热效应无突变。但 $\Delta C_p \neq 0, \Delta \beta \neq 0, \Delta \alpha \neq 0$

注：二阶以下的相变称为高级相变。

几级相变、化学反应前(n-1)阶偏导相等，n阶偏导不相等。

$$dG = -SdT + PdV$$

- 1) 成核-生长相变 -级相变，耗能，正扩散。
2) 连续型相变 自发进行，不耗能，反扩散。
3) 有序-无序相变 铁磁相、铁电相转变。
4) 弹体相变 没有旧键断裂和新键形成，只改变键向/键长。
热力学： $\Delta G < 0$ ；动力学：速度很快。

相变条件：

- 1) 温度： $\Delta G = \Delta H - T\Delta S \Rightarrow \Delta G = \Delta H \frac{\partial T}{T} < 0$.
 $\begin{cases} \text{放热 } \Delta H < 0 \rightarrow T < T_0 \text{ 过冷} \\ \text{吸热 } \Delta H > 0 \rightarrow T > T_0 \text{ 过热} \end{cases}$
- 2) 压力：恒温 $dG = vdp \Rightarrow \Delta G = RT \ln \frac{P^0}{P} < 0$
 $\begin{cases} \text{压强 } p > p_0 \text{ 出泡和蒸气压.} \\ \text{浓度 } \Delta G = RT \ln \frac{C}{C_0} \text{ 泡和浓度} \end{cases}$

影响扩散的因素

一、外在

- (1) 温度：温度越高扩散越容易。
- (2) 浓度：使颗粒畸变、活性能降低而加速扩散。
- (3) 气氛：如 Fe 在 FeO 中扩散较易 (CO_2 气氛)。

(4) 固溶体类型：间隙型固溶体比置换型固溶体容易扩散，因为间隙型固溶体中间隙原子已位于间隙，边界

因为间隙扩散机理的扩散距离小于置换型扩散。

间隙型固溶体中间隙原子位于间隙，而置换型固溶体中溶质原子通过空位扩散时，有先要形成空位，因而激活能高。

二、内在

- (1) 扩散物质性质：扩散粒子与扩散介质性质不同，扩散系数也越大。因为这样介质原子附近应力场发生畸变，较易形成空位而降低活化能。
- (2) 原子排列越紧密，原子间结合力越强，扩散激活能越大，扩散系数越小。(P.S. 面心立方比体心立方紧密。) ③ 原子力越大，扩散系数越小。

(3) 扩散介质性质：扩散介质越紧密，扩散越困难。

(4) 活构缺陷：处于晶界表面、晶界和位错处的原子位能高于正常晶格上原子，扩散系数大。

四、D 表面 \rightarrow D 固内

另：半径大物易扩散

Pm3 $\left\{ \begin{array}{l} \text{自扩散} \\ \text{互扩散} \end{array} \right.$

补：扩散机制 扩散机制：

1. 局部扩散机制
原子的扩散通过相邻两个原子直接对调位置而进行的可能性不大。

2. 间隙扩散机制 \triangle

间隙、扩散机制适用于间隙型固溶体中间隙原子的扩散。
间隙上原子认为不动。

3. 空位扩散机制 \triangle

适用于置换型固溶体。
适用于以热振动为推动力通过该种原子或离子价构成的晶格，向着特定方向所进行的迁移过程。

互扩散 多元系统中存在的多种离子同时进行的扩散

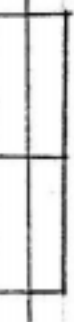
扩散系数 单位浓度梯度下的扩散通量 cm^2/s ，桶、扩散通量 单位时间通过垂直于 x 轴的横截面积的原子数且 $\text{mol}/(\text{cm}^2 \cdot \text{s})$ 。

基本动力学过程 — 扩散 No. 14

Date

推动力：化学位梯度。

菲克第一定律： $C = C_0 - Cx$



假设有一单相固溶体，横截面积为A，浓度C不均匀，在 Δt 时间，沿x轴方向通过x处截面所扩散的物质质量 Δm 与处 x 的浓度梯度 $\frac{\partial C}{\partial x}$ 成正比：

$$\Delta m \propto \frac{\partial C}{\partial x} \cdot A \cdot \Delta t$$

$$\Rightarrow \frac{dm}{A \Delta t} = -D \left(\frac{\partial C}{\partial x} \right)$$

而扩散通量 $J_x = -D \frac{\partial C}{\partial x}$ (单位时间内通过垂直于x轴的单位横截面积的分子数)。

其中 D 是比例系数，称扩散系数，标量 m^2/s 或 cm^2/s 。
 $\frac{\partial C}{\partial x} = 0$

稳态扩散：空间任意一点的浓度不随时间变化， J_x 不随 x 变化。
 $\frac{\partial C}{\partial t} = 0$, $\frac{\partial J_x}{\partial x} = 0$
非稳态扩散：空间任意一点的浓度随时间变化， J_x 随 x 变化。
菲克第二定律 (适用于非稳态)。

$$J_x = \frac{D}{\Delta t} \left[C_{x+\Delta x} - C_x \right]$$

在扩散方向取体积元 $\Delta x A$ 。在 Δt 时间内，体积中扩散物质的质量 Δm 。

$$\Delta m = (J_x - J_{x-\Delta x}) A \cdot \Delta t$$

同除以 $\Delta x A \cdot \Delta t$:

$$\frac{\Delta m}{\Delta x A \cdot \Delta t} = \frac{J_x - J_{x-\Delta x}}{\Delta x A \cdot \Delta t} = -\frac{\partial J_x}{\partial x}$$

$$\text{代入 } J_x = -D \frac{\partial C}{\partial x} \quad \frac{\partial C}{\partial x} = D \frac{\partial C}{\partial x}$$

得

$$\text{接触角: } \text{接触角} = \frac{\gamma_{sv} - \gamma_{sl}}{\gamma_{lv}} \text{ 叫接触角 } \downarrow \rightarrow 0^{\circ} \rightarrow 0^{\circ}$$

阻碍铺展。

圆球表面张力:

临界表面张力测定法
利用高聚物或熔体的表面张力与温度的关系求固体表面张力

估算法

粘附与什么有关? (粘附指固体)

(1) 润湿性

(2) 吸附膜

(3) 相溶性

(4) 分散度

(5) 塑形程度

提高润湿性:
在液体中加入表面活性剂, 降低 γ_{ls} , γ_{ls}

下:

清洁表面: 不存在任何吸附、催化反应、机械打磨等物理化学作用的表面。

粗糙表面: 表面上的原子相对于正常位置的上、下位移。

重构表面: 表面原子层在水平方向的周期性不同于体内, 但垂直方向的层间距与体内相同。

吸附表面: 清洁表面上有来自体内的杂质和表面周围空间吸附到表面上的物质所构成的表面

湿润吸附表面上的物质状态, 那么固体是以何种方式使固体表面处于高能量状态的。

降低过剂的表面能以达到热力学稳定状态的。

① 通过表面(立体)极化、变形、重排

② 吸附

固体表面结构
{ 离子晶体
 粉体
 玻璃

离子晶体结构：极化 \rightarrow 变形 \rightarrow 重排。降低表面的电场
处于表面层 \times 电子云被拉向内侧的正离子一方而弯曲。接着表面对的负离子开始重排以使之在能量上趋于稳定。为此，表面对离子被推向外侧，正离子被拉向内侧从而形成了表面对电层，起着离子晶体表面带负电。

Q1、为什么真空中 MgO 沿 $\langle 110 \rangle$ 颗粒互相排斥？
新 MgO 颗粒表面为清洁表面带负电。
Q2、为什么 PbI_2 起重排 $< CaI_2$ ？
半径大的负离子 I^- 极化半径大，半径小的正离子 Pb^{2+} 极化半径小，对电层越深，表面对负离子与 Pb^{2+} 都具有较大的极化性能。

粉体表面结构：粉体在准备过程中，由于反复地破碎，所以不断形成新的表面。而表层离子的极化变形，重新使表面对电层，有序性降低。因此随着粒子的微细化，其表面的颗粒结构越来越强烈地扰乱，并不断向颗粒深部扩展，最后使粉体表面结构趋于无定形化。

两种认为：

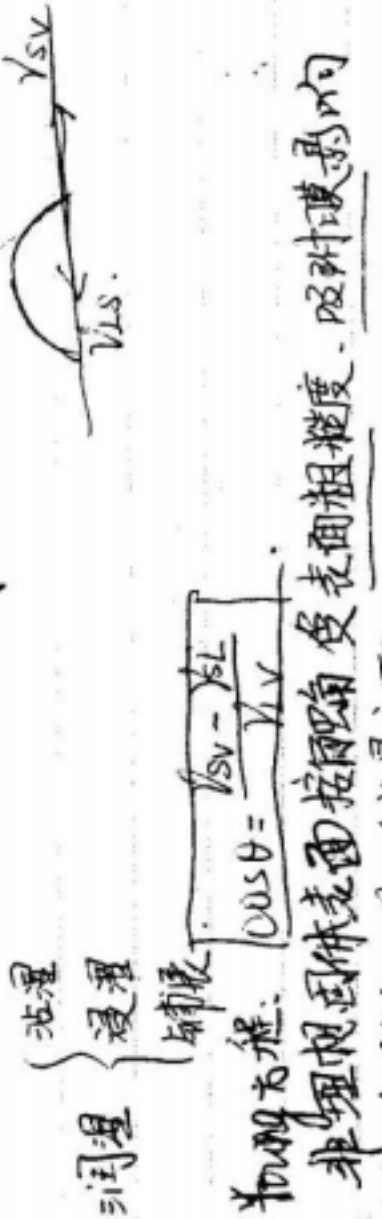
(1) 无定形结构：
 石英密度随粒度 \downarrow $\xrightarrow{\text{demonstrate}}$ 接近非晶态、
 石英相变吸热峰随 SiO_2 粒度 \downarrow 增强。
(2) 晶胞结构：
 灼烧强度随粒度 \downarrow 增强。

固体表面几何结构：不同的几何状态会对表面性质产生影响。
其中最重要的是表面积度和微孔隙。

- (1) 表面粗糙度：引起表面力场变化，进而导致表面结构。
从色散力角度(对内的力)可知，位于凹谷深处的底点，其色散力最大，凹谷面上加平面上次之，应于峰顶处则最小。反之，对于静电作用，则位于孤立峰顶处应最大，而凹谷深处最小。由此可见，光谱粗糙度将使表面力场变得不均匀，其活性和其它表面性质也随之发生变化。
- (2) 表面微孔隙：因颗粒体缺陷或外力作用产生。对活性材料影响强烈。

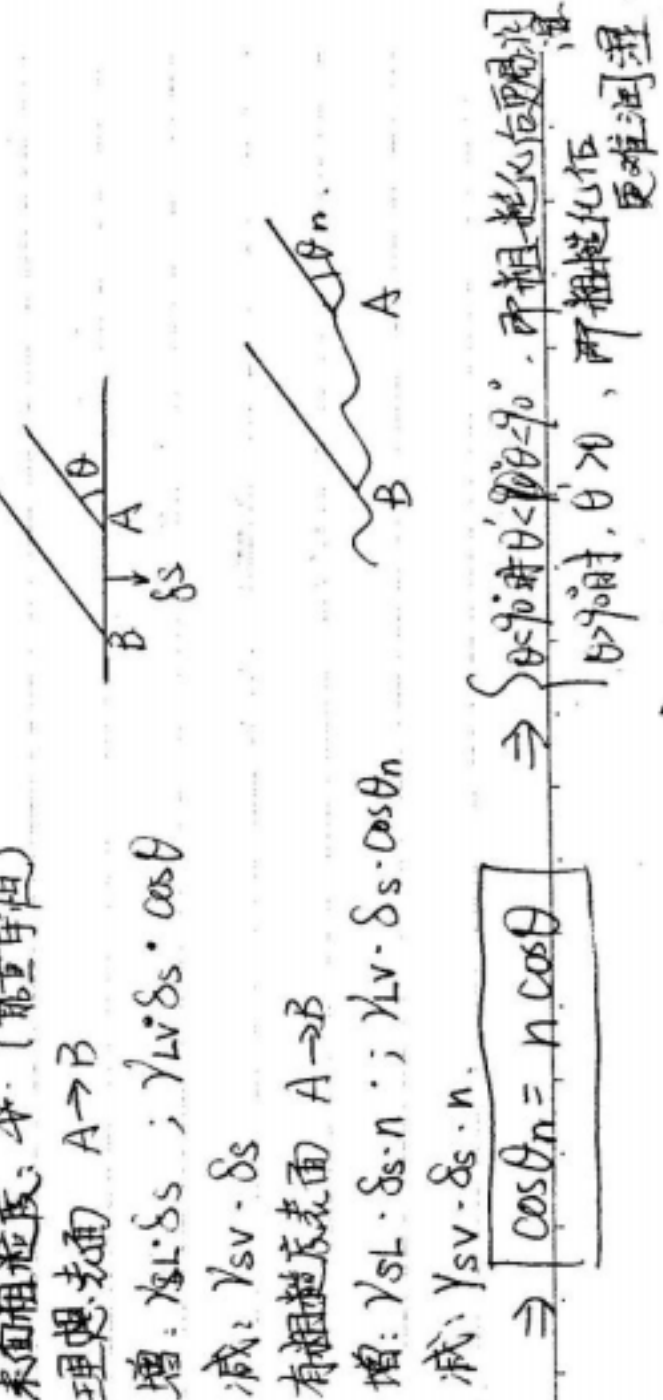
$$\text{球形颗粒理论: } R_s = \sqrt{\frac{2\pi a}{e}} ; E = \frac{U}{a}$$

2. 表面粗糙度



$$\cos \theta = \frac{V_L - S_L}{V_L} .$$

3. 表面粗糙度、吸附膜影响



$$\cos \theta = n \cos \phi \Rightarrow \begin{cases} 0 < \theta < 90^\circ & \text{非粗糙化后更难润湿} \\ 90^\circ < \theta > & \text{非粗糙化后更易润湿} \end{cases}$$

表面张力与温度关系

与 η 成对数的影向相反。

一般 σ/s 比值越小，稠度越小，作用力 ΔT 越小， η/τ 比值越大，稠度越大。

与温度 T 成反比。

$\Delta = \Delta_0 (1 - bT)$

玻璃的通性：

(1) 各向同性：

(2) 介电性：在一定热力学条件下，经流动处于最低能量状态，却处于一种可以较长时间存在的状态。

(3) 由熔融状态向玻璃态的过渡是可逆的、渐进的，在一定温度范围内完成，无固定熔点。

(4) 由液体状态向玻璃态转化时物理、化学性质随温度变化的连续性。

(5) 物理、化学性质随成分变化的连续性。

形成玻璃方法：

熔融法：不适于金属。

非熔融法：①

形成玻璃热力学条件：

熔融化，玻璃化，分相。

P.S. 稀释：非晶态 ΔH 增大，越易形成玻璃。

形成玻璃的动力学条件：

1) 膨胀系数与晶体生长速率的极大值与生长速率处的温度相差越小，熔体越易形成区域。其体积越小，越易形成玻璃。

① 熔体在熔点附近具有高的粘度，并且粘度随温度降低而降低剧烈。这样熔体易形成玻璃。而 η_m 很小时却以形成玻璃。如 Li₂O, Ni₃, Ni₄。

② $T_g < T_m$ 易形成玻璃

形成玻璃的粘融化条件：

(1) 粘分子团大小与排列方式：聚合程度越高，特别当具有三维网状或全塑链状结构时，越易形成玻璃。

复合阳离子因越小，越易自由移动形成晶体。

(2) 粘度：

① 网格形成体。单独形成玻璃。 $> 335 \text{ KJ/mol}$ 。
② 网格中间体，介于之间。 Al₂O₃，
③ 网格改善体。不易形成玻璃。能改变网格结构。 $< 250 \text{ KJ/mol}$ 。
所有1价和部分2价金属。

另：单键强度大，氧化物熔点，比值↑，越易形成玻璃。

(3) 键型：

形成玻璃必须具有离子键或金属键向共价键的混合键型。

解释：

① 稀释后键合物具有较高配位数(6, 8)，离子相遇能组成网络的几率也较高。
② 一般离子键化合物在凝固点熔点粘度很低，不形成玻璃。

固聚物、三聚氰胺碎片以及游离碱、吸附物，最后得到的熔体是不可聚合程度的各种聚合物的混合物，构成硅酸盐熔体结构。聚合物的大小、种类、数量随熔体的组成和温度而变化。

熔体性质：

粘度概念：是液体（液体/固体）抵抗流动的力量。

$$\tau = \eta \frac{dy}{dx}$$

测定： $P_{1,2}$

η ：直流动方向的速度梯度 (Pa^{-1})

n ：比例系数，简称粘度 ($Pa \cdot s$)

物理意义：单位接触面积，单位速度梯度下两层液体间的内摩擦力。
 $1 Pa \cdot s = 10 P$ (泊)。

$$\frac{1}{\eta} = \phi \rightarrow \text{液体流动度}$$

影响因素：
① 温度：降低而 \downarrow

② 化学组成：大分子量分子越大。
牛顿公式：
 $n = A_1 e^{\frac{-B_1}{T}}$

A_1 ：与熔体有关的常数
 B_1 ：使粘滞降低

\downarrow
 η ：浓度

\downarrow
 η ：温度

\downarrow
 η ：搅拌强度

\downarrow
 η ：杂质

\downarrow
 η ：熔体组成

\downarrow
 η ：熔体组成

粘度-组成关系：

一价碱金属 (使 \downarrow 粘度)。

P_{1,5} 表示：(解聚起主要作用，也有微聚作用)

碱金属氧化物提供自由基使硅酸盐离子团聚成较简单的结构单元，因而使粘度 \downarrow 较小。

However ① 当 R₂O 含量较低时， η / η_0 比值较低，则熔体中硅氧负离子团较大，对粘度起作用的是四面体 [SiO₄] 间键力。此时加入正离子团

半径越小，降低粘度作用越大。

R₂⁺ 提供游离基，还对 Si-O-R 有松弛化作用。
(游离基过大，松弛化作用越大，解聚作用。)

R₂⁺ 提供游离基，还对 Si-O-R 有松弛化作用。
(游离基过大，松弛化作用越大，解聚作用。)

R₂⁺ 提供游离基，还对 Si-O-R 有松弛化作用。
(游离基过大，松弛化作用越大，解聚作用。)

② 当熔体中 R₂O 含量较大时， η / η_0 值较高，熔中中硅氧负离子团接近最简单的 [SiO₄]⁴⁻ 形式。
ESiO₄⁴⁻ 通过 O²⁻ 与 R-O 键力 \Rightarrow 连接，R⁺ 起聚合作用，及 SiO₄⁴⁻ 降低作用。
(含量高时 R⁺ 聚合，降低)

二价金属氧化物 (使 \downarrow 粘度)。
不引起聚合作用，只有解聚作用。

高价金属氧化物 (使 \downarrow) P₂S、NaPb²⁺ 更能提高玻璃性能。

离子半径高，倾向于形成更为复杂的聚合阴离子团，粘度 \uparrow 。

解聚度：(先 \downarrow 后 \uparrow) 面积数的变化

B₂O₃ 含量较少时，游离量不足，B³⁺ 离子处于 [BO₄] 四面体状态加入到 SiO₄⁴⁻ 四面体网各顶角紧密，使 \uparrow 粘度。

(P.S. 善适公式：获得一定粘度的过程，如扩散、玻璃等皆可用)
 $\log \eta = A + \frac{B}{T}$

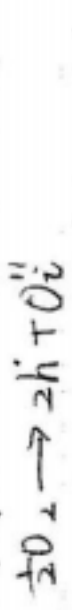
(32) 公式：
 $\ln \eta = A + \frac{B}{T}$

\downarrow
 $B = \frac{A_1}{k}$

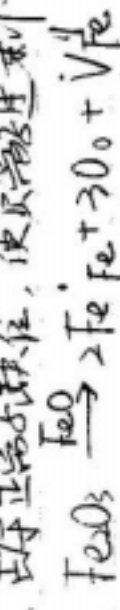
熔体中同时引入一种以上 R₂O 时， η / η_0 变 \downarrow 或 \uparrow 。

非晶态结构与性质

(3) 由于网隙负离子，使负离子过剩。



(4) 反应正离于缺位，使负离子过剩。



线 跟 路

滑移 dislocation

完整晶体的基本塑性变形方式：滑移(外力作用下，晶体的局部部分相对

于另一部分，沿着一定晶面的一定距离发生平移，使晶面的原子从一个平衡

位置平移到另一个平衡位置)

刃位错：位矢量 \vec{b} 垂直错线

螺位错： $\vec{b} \parallel$ 错线

位错运动：滑移，攀移

基本形式

面缺、面陷

晶界：不同取向的晶粒之间的界面 (grain boundary)。

晶界的强化：①陶瓷：晶粒越细，晶界能比值越大。

金属：位错塞积

滑移强度方程： $\bar{\gamma} = \bar{\gamma}_0 + k d^{-\frac{1}{2}}$

适用于陶瓷、金属。

$\bar{\gamma}$ Na₂O 加入后：

由于 Na₂O 提供“游离”氧，结果使部分桥氧断裂成非桥氧， O/S 值

值↑，此时 [SiO₄] 的连接方式可从架状、层状、环状、

最终过渡到全部断裂形成 [SiO₄] 峰状，[SiO₄] 连接程度↓。

影响聚合物聚合的因素：

聚合物理化：初期：石英(或硅酸盐)的分化；中期：缩聚并伴链支开；后期在一定时间和一定温度下，缩聚一分化达平衡，产物中有机低聚物。

化学平衡方法计算沉淀溶解度：

$$K \Rightarrow [\Delta G_f - RT \ln K] \Rightarrow 沉度.$$

$$AB型晶型: \Delta G_f = [V_f] = QAP \left(-\frac{\Delta f}{2RT} \right) \rightarrow K$$

固溶体
定义：将外来组元引入晶体结构，占据基底晶体质点位置。
固溶体
成间隙位置的一部份，仍保持一个晶相，这种晶型称~。
在固溶体基底中掺杂的固体杂质~添加剂；外来组元~杂质。
分类：①置换型~：摩尔置換最易。

②填隙型~

①. 有限 ~ ②. 无限 ~

$$\text{置换型固溶体: } \begin{cases} \Delta f = \frac{V_1 - V_2}{V_1 (k)} < 15\% \Rightarrow \text{连续型} \\ 15\% \sim 30\% \Rightarrow \text{有限型} \\ > 30\% \Rightarrow \text{无法形成固溶体} \end{cases}$$

(由于 Δf 小时，属产生晶格畸变，能量少，不稳定)

②. 局部结构类型：相同成分不充分

③. 离子共型和键性：仅导键性无相近

④. 密度因素：最好等价

间隙型固溶体：

①. 颗粒大小：越小越好

②. 晶体结构：基底晶体空隙越大越好 esp. 竖石型

③. 电荷平衡：

PS、形成间隙固溶体时，一般都使晶格带放，增加到一定程度，使晶格带失去稳定性，故填隙型固溶体不可能是连续固体。

元：沸石 $>$ 莹石 $>$ $TiO_2 > MgO$

形成固溶体后对晶型性质影响 ($P_{SO} \sim K_f$)

一、稳定性好，防止晶型生成

二、活化晶格

三、固添强化

四、影响材料物理性质

固溶体类型鉴定判别：

根据试验方程计算出杂质浓度与固溶体密度的关系，并画曲线，然后把这些数据与实验值相比较，哪种类型与实验值相符合即那种。

理论密度 = 含有杂质的固溶体最初质量 $/ V$

最初体积 V_0

$$W_i = \frac{\text{理论中元素位置}}{6.02 \times 10^{23}} \times \text{质量分数} \times \text{分子量}$$

非极性化合物

特点：①. 浓度与性质无关，密度

②. 不靠位置换发生在同一种离子中的不同位置。

③. 都是半导体 $\{n\}$ 型。

分类：

①. 间隙型，使金属离子过境。

$O_0 = V_0 + 2e^1 + \frac{1}{2} O_2 \uparrow$

②. 由于间隙正离子使金属离子过境

$$2_n(q) = 2n_i + 2e^1$$

晶体结构缺陷

定义：把晶体点阵结构中周期性势场的畸变
类型① 空位
② 间隙原子
③ 面~
④ 体~
 按分布
 间隙杂质

① **热缺陷** (本征缺陷) 由热起伏引起，因所产生空位或间隙而引起。
 特点：① 空位和间隙点成对出现
 ② 背景~、正离子空位成比例出现。

PS. X与温度有关

② **非本征缺陷**、亦称组成缺漏，是由外加杂质的引入所产生的缺陷。
 特点：与掺杂量、温度有关。
 ③ **非化学计量缺陷**：组成上偏离化学中的定比定律所形成的缺漏。
 特点：随周围与之接触的性质及分压有关。

点缺陷

缺漏标志：位置关系，数量平衡，电中性。

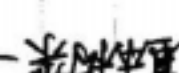
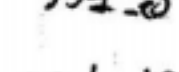
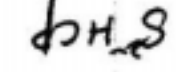
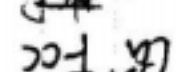
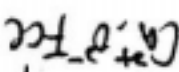
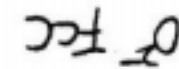
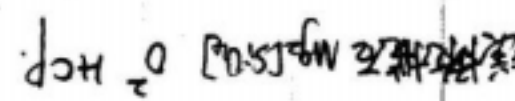
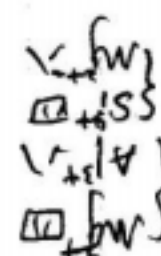
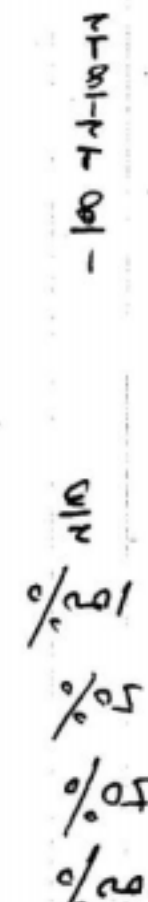
e.g. $\text{NaF} \xrightarrow{\gamma} \text{Y}_3^+$ 中
 $\text{NaF} \xrightarrow{\gamma} \text{Na}^{+} + \text{F}^{-} + 2\text{V}_F$ 或 $3\text{NaF} \xrightarrow{\gamma} \text{Na}^{+} + 2\text{Na}_i + 3\text{F}^{-}$

热缺陷：
 $\text{Fracture}: 0 \rightarrow V_{\text{mg}} + V_0$

补：
 $\text{AgAg} \rightarrow \text{Ag}_i + \text{V}_{\text{Ag}}$
 P.S. Naei型结构只会有背景缺陷。
 (没有多余空位)

下传荷后恢复力见大，无法复原。
 BT: A₂可自发极化 \rightarrow 释电效应

$$\begin{cases} \text{CN}(O)=\text{CN}(T^+)=6 \\ \text{CN}(C_6^+)=12 \\ \text{CN}(A_6^-)=4 \\ \text{CN}(O^-)=6 \\ \text{CN}(C_6^-)=8 \\ \text{CN}(F^-)=4 \end{cases}$$



晶体结构 补充:

负萤石结构：正负离子位置刚好与萤石结构中的相反，即碱金属离子占据 F^- 离子的位置……反萤石。

A_2X_3 型结构：

刚玉型 Corundum, 结构 P46.

O^{2-} 离子近似做HCP, Al^{3+} 填充在6个 O^{2-} 形成的八面体空隙中, $Al = \frac{2}{3}$.

Al^{3+} 占据八面体空隙 $\frac{2}{3}$, $CN(+)=6$, $CN(-)=4$.

P.S. 极化作用, $\begin{cases} ABCABC \\ ABAB \end{cases}$ 3/6个极化。

莫氏硬度 9级。

* 结构基元 $\left\{ \begin{array}{l} \text{类千原子/离子} \\ \text{络阴离子} \end{array} \right.$

$CaTiO_3$ 型 P49.

Ca^{2+} 与 O^{2-} 一起 FCC (Ca^{2+} 顶角, O^{2-} 面心) Ti^{4+} 位于体心, 八面体空隙
阴离子个数为1, $CN(Ca^{2+})=12$ $CN(Ti^{4+})=6$.
桥架取代。

* $BaTiO_3$ 铁电效应。

铁电晶体：具有自发极化且在外电场作用下具有电滞回线的晶体。
产生自发极化条件：离子位移后固定在新位置上的力大于往移的恢复力。
 $E_{\text{场}} < T_c < T_m$.

自身被极化和极化周围其它离子两个作用同时存在。

正离子: 静小, 电荷较高, 极化力表现明显, 不易被极化

负离子: 经常表现出极化现象, 电荷小而半径较大的负离子尤为显著。

附: 一般只考虑正离子对负离子的极化作用, 但当正离子为 18 电子型, 体吸水后负离子对正离子的极化作用。

*稀溶液定律, 晶体结构取决于其组成基元(原子、离子或离子团)的键数量关系, 大小关系, 及极化性等。

*同质多晶: 化学组成相同的物质, 在不同的热力学条件下形成结构不同 的晶体, 一由此所产生每一种化学组成相同但结构不同的晶体为重晶。

*类质同晶: 化学组成相似或相近的物质, 在相同的热力学条件下, 形成的晶体具有相同的结构。

*同质多晶转变 { 位移性转变 快
重建成 ~ 慢

无机化合物 结构

- AX型

NaCl 型结构 $P_{4}31$

Na^+ 配位数 6 $Cl^- \sim 6$

Cl^- 作 FCC 密堆积, Na^+ 填充在八面体空隙, 100%

特征: 翼胞中有 4 个 Cl^- , 4 个八面体空隙, 4 个 Na^+

结构一致性: Na^+ 在三个方向上键力分布较为均匀, 因此其结构无明显差异。

二、 A_2X 型结构 $P_{4}4$

萤石 (CaF_2) 型结构 和方萤石结构

Ca^{2+} 作 FCC, F^- 填充四面体, $CN(-)=4$, $CN(r)=8$, 100%

特征: 八面体 8 个键 (八面体空隙空着)

特征: 方萤石型结构的晶体: 4 个离子 M^{4+} 氧化物 MO_2

二、最紧密堆积方式: (BCC + HCP).

- ① 每个球体周围同种球体个数均为 12.
- ② 每个球体周围有 8 个四面体空隙和 6 个八面体空隙.
- ③ n 个等径球最紧密堆积时, $\frac{4\pi}{3}n^3$ 个正四面体空隙, $\frac{n^2}{2}$ 个八面体空隙.

④ 空间利用率 74.05%.

三、内在因素对晶体结构的影响:

① 离子的相对大小.

② 配位数

③ 离子极化

* 四面体空隙 → 4 个球.

八面体空隙 → 6 个球.

最紧密堆积时每个球周围有 6 个八面体空隙, 8 个四面体空隙.

* 极化率: 同种离子距离最近且相斥的正负相切 $0.414 \leq \gamma_{AB} < 0.73$.

* 离子极化: (仅在典型的离子晶体中适用)

在离子紧密堆积时, 带电荷的离子所产生场电场, 必须要对另一个带电的离子产生吸引和排斥作用, 使之发生重叠.

极化的双重作用 $\left\{ \begin{array}{l} \text{自身被极化: } \alpha \text{ 极化率 } \alpha = \frac{V}{E} \\ \text{极化周围其它离子: } \beta \text{ 极化率 } \beta = \frac{V}{E} \end{array} \right. \quad (V: \text{有效体积})$

Fcc, 面心立方和立方密堆积.

一、模型:
注: ① 全称模型, 表示无方向性和饱和性, 共价键没有.

② 面体中离子键共价键比例估算.

$$\text{离子键 (\%)} = 1 - \exp \left[-\frac{1}{2} \left(\frac{x_A - x_B}{r_A} \right)^2 \right].$$

电负性值.

③ 内在因素对晶体结构的影响:

① 金属晶体

② PbS

③ Fcc

④ HCP (密排六方)

$$\text{晶胞参数} \quad \text{配位数(CN) 定义} \quad \frac{4\pi r^3}{2\sqrt{3}} = 68\% \quad \left\{ \begin{array}{l} \text{BCC} \quad 8 \times \frac{1}{8} + 1 = 2 \quad r_A = 4r \\ \text{FCC} \quad 8 \times \frac{1}{8} + 6 \times \frac{1}{2} = 4 \quad r_A = 4r \\ \text{HCP} \quad 12 \times \frac{1}{6} + 3 + 2 \times \frac{1}{2} = 6 \quad r_A = 4r \end{array} \right. \quad \left\{ \begin{array}{l} \text{ABCABC} \\ \text{ABAB} \end{array} \right.$$

- ② 金属晶体、离子晶体应符合紧密堆积原理。
- ③ FCC, 密排立方结构 FCC, HCP 最紧密堆积和结构.

Mo	Tu	We	Th	Fr	Sa	Su
----	----	----	----	----	----	----

Memo No. / /
Date / /

2

三、晶体结构的定量描述

①. 晶面 Def: $P_{1,5}$.

②. 晶面指标 (hkl) $P_{1,5} = (\frac{1}{m}; \frac{1}{n}; \frac{1}{p})$.

③. 晶面族: 晶体中原子排列状况而且不平行的两面以上晶面而 $\{ \dots \}$.

④. 晶向: $[\dots]$. 坐标轴截距互质.

⑤. 晶向族: $< \dots >$

IV. 晶向与晶面相关系

Fig. 表格 $[\dots]$ 是 $< \dots >$ 的法向

晶面间距越大, 法面上原子越多.

§ 1.2 晶体中质点的结合力与结合能.

①. 离子键: 正负离子依靠静电库仑力而产生的结合, 没有方向性和饱和性.

②. 共价键: 原子之间通过共用电子对或通过电子云重叠而产生的结合.

③. 金属键: 金属(外层电子价电子)的原 子和自由电子组成的电子云之间的静电库仑力而产生的结合. 没有方向性和饱和性.

④. 范德华力 $\left\{ \begin{array}{l} \text{Keesen Force: 极性.} \\ \text{Debye Force: 极 vs 非极.} \end{array} \right.$

London Force: 非极.

⑤. 氢键: 氢原子同时与 2 个电负性很大而原子半径较小的原子 (O, F, N 等) 相结合而形成的关键. 具有饱和性.

$$\text{⑥ 氢键 } (\%) = 1 - \exp [-\frac{1}{4} (X_A - X_B)].$$

A, B 元素的电负性值.

§ 2.3. 晶体中质点的振动.

一、最紧密堆积原理:

D. 结构堆积的密度越大, 金属的势能越低, 晶体越稳定.

②. 离子晶体、离子晶胞

③. 基础: 使正负电子云分布呈球形对称.
④. 方向性

第1页

No. _____
Memo No. _____
Date / /

熔体性质：
① 热胀，
② 影响因素：
温度、压力、浓度、
与溶质的相互作用。

玻璃形成条件：

玻璃特点：(相对于固体)
结构学说：异向性 (x, y, z 不平行)。

机制：
Fick. (一维扩散，一计算，二计算不考)。
扩散系数 $D = D_0 \exp(-\frac{Q}{RT})$ 图解分析。

扩散系数
与起始浓度有关。

扩散系数

物理：
扩散过浓
扩散形态
均态与均态分子 $f(x)$ 。

特点：
扩散动力学
影响因素：

传热机理：余流速度的降低。

影响因素：(看书△)
结合和后退。

三个阶段：
1. 气泡形成 (气化)
2. 气泡生长 (长大)
3. 气泡破裂 (破碎)

§ 1.1 结晶学基础和知识

一、晶体及其特征

Def. 是内部质点在三维空间成周期性重复排列的固体，即

晶体是具有格子构造的固体。

特征：① 周期性：自发地形成封闭的周期性晶体

② 均一性：任一部位具有相同性质。

③ 各向异性：不同方向不同性质。

④ 对称性：其物理化学性质在不同方向或位置上

有规律地出现。

⑤ 最小内能加最大稳定性。

二、晶体结构与空间点阵

空间点阵：P3。

缺点：点阵的中心位置，仅有几何意义，不能直接测定。

结构基元：晶体中分子状态，如原子或原子集团。

晶体结构：空间点阵十结构基元。

缺陷：P3。

选择基元。

晶胞参数：布拉本点阵 P4。